

# PROPRIEDADES DE SUPERFÍCIES SELETIVAS DE FREQUÊNCIA COM PERDAS DIELÉTRICAS

A. Luiz Pereira de Siqueira Campos<sup>1</sup>, A. Gomes d'Assunção<sup>2</sup>, M. Antonio Barbosa de Melo<sup>1</sup>.

1. Universidade Federal da Paraíba – Departamento de Engenharia Elétrica

Caixa Postal 10105; CEP 58109-090; Campina Grande, PB.

2. Universidade Federal do Rio Grande do Norte

Caixa Postal 1655; CEP: 59072-970; Natal, RN.

## RESUMO

A análise de uma estrutura periódica situada entre duas camadas dielétricas anisotrópicas com perdas é apresentada. A estrutura periódica é definida como sendo um arranjo de *patches* do tipo *freestanding*. A análise utiliza o método dos momentos em combinação com o método da imitância para determinar as características de transmissão e de reflexão da estrutura.

## 1. INTRODUÇÃO

Estruturas periódicas são usadas em diversas aplicações, tais como em filtros de ondas eletromagnéticas [1]–[5]. O anteparo pode ser um arranjo de *patches* condutores do tipo *freestanding* ou um arranjo colocado entre camadas dielétricas [1]. O objetivo deste trabalho é verificar o efeito produzido pelas perdas dielétricas no espalhamento de ondas eletromagnéticas incidentes na FSS. A estrutura analisada é mostrada na Figura 1.

Nesta análise, o problema do espalhamento eletromagnético é formulado e o método da linha de transmissão equivalente é usado para determinar as componentes da função diádica de Green [5]. O conhecimento destas componentes permite, com o uso do método dos momentos no domínio da transformada de Fourier [2], determinar as características de transmissão e de reflexão da estrutura analisada.

Na próxima seção, a análise será apresentada em maiores detalhes. Resultados numéricos serão apresentados na seção subsequente. Para efeito de comparação dos resultados, também foi considerada uma estrutura sem perdas dielétricas ( $\sigma = 0$ ). Os resultados deste trabalho foram comparados com os obtidos por outros autores. Por exemplo, uma boa concordância foi observada entre os resultados desta análise e aqueles apresentados em [3].

## 2. FORMULAÇÃO DO PROBLEMA DE ESPALHAMENTO

A estrutura considerada neste trabalho é mostrada na Figura 1. Ela é composta de um arranjo periódico de *patches* retangulares entre duas camadas dielétricas, que são consideradas anisotrópicas e com perdas.

As camadas dielétricas são caracterizadas por tensores que possuem parâmetros constitutivos complexos. O tensor permissividade para a camada  $i$  ( $i=2, 3$ ; na Figura 1) é dado por [7]

$$\bar{\bar{\epsilon}}_i = \begin{bmatrix} \epsilon_{xxi} & 0 & 0 \\ 0 & \epsilon_{xxi} & 0 \\ 0 & 0 & \epsilon_{zzi} \end{bmatrix} \quad (1)$$

onde

$$\epsilon_{xxi} = \epsilon_0 (\epsilon'_{xxi} - j\epsilon''_{xxi})$$

$$\epsilon_{zzi} = \epsilon_0 (\epsilon'_{zzi} - j\epsilon''_{zzi})$$

$$\epsilon'_{xxi} = \epsilon_{xxi}$$

$$\epsilon'_{zzi} = \epsilon_{zzi}$$

$$\epsilon''_{xxi} = \epsilon''_{zzi} = \sigma_i / \omega \epsilon_0$$

onde  $\epsilon_{xxi}$  e  $\epsilon_{zzi}$  ( $i=2,3$ ) são as componentes da permissividade elétrica ao longo das direções  $x$  e  $z$  (Figura 1), respectivamente;  $\epsilon_0$  é a permissividade elétrica do espaço livre e  $\sigma_i$  é a condutividade do material na camada  $i$  ( $i=2,3$ ).

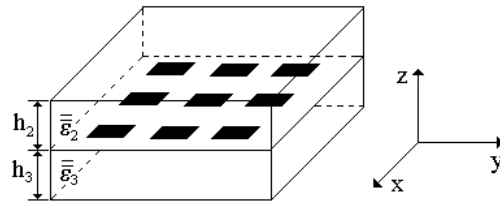


Figura 1. Geometria da estrutura periódica considerada.

Neste trabalho, o método da imitância no domínio espectral, é usado para obter a função diádica de Green [6]. O método dos momentos é então usado para determinar as características de reflexão e transmissão da estrutura analisada, mostrada na Figura 1.

Os campos incidentes na estrutura da Figura 2 são dados por

$$-\begin{bmatrix} E_x^{inc} \\ E_y^{inc} \end{bmatrix} = \frac{1}{(2\pi)^2} \sum_{-\infty}^{\infty} \sum_{-\infty}^{\infty} \frac{1}{j\omega\epsilon_0} \begin{bmatrix} k_0^2 - \alpha^2 & -\alpha\beta \\ -\alpha\beta & k_0^2 - \beta^2 \end{bmatrix} \cdot \begin{bmatrix} \tilde{J}_x \\ \tilde{J}_y \end{bmatrix} e^{j(\alpha x + \beta y)} d\alpha d\beta \quad (2)$$

Para estender esta formulação para a estrutura dada na Figura 1, é preciso modificar a equação característica dada em (2), substituindo-se a função diádica de Green, por uma nova função, válida para a estrutura considerada [1], [2]. Deste modo, a equação (2) pode ser reescrita como:

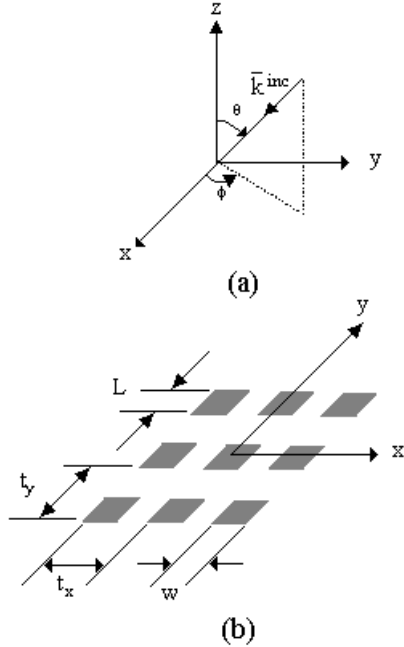
$$-\begin{bmatrix} E_x^{inc} \\ E_y^{inc} \end{bmatrix} = \sum_{m=-\infty}^{\infty} \sum_{n=-\infty}^{\infty} \begin{bmatrix} \tilde{Z}_{xx} & \tilde{Z}_{xy} \\ \tilde{Z}_{yx} & \tilde{Z}_{yy} \end{bmatrix} \begin{bmatrix} \tilde{J}_x(\alpha_{mn}, \beta_{mn}) \\ \tilde{J}_y(\alpha_{mn}, \beta_{mn}) \end{bmatrix} e^{j(\alpha_{mn}x + \beta_{mn}y)} \quad (3)$$

onde,  $E_x^{inc}$  e  $E_y^{inc}$  são as componentes do campo elétrico incidente, nas direções x e y (Figura 1), respectivamente.  $\tilde{Z}_{xx}$ ,  $\tilde{Z}_{xy}$ ,  $\tilde{Z}_{yx}$  e  $\tilde{Z}_{yy}$  são as componentes da função diádica de Green. As variáveis espectrais são dadas por

$$\alpha_m = \frac{2\pi m}{t_x} + k_0 \sin(\theta) \cos(\phi) \quad (4)$$

$$\beta_n = \frac{2\pi n}{t_y} + k_0 \sin(\theta) \sin(\phi) \quad (5)$$

sendo que  $t_x$  e  $t_y$  são os períodos das células nas direções x e y, respectivamente,  $\theta$  e  $\phi$  são os ângulos de incidência e  $k_0$  é o número de onda do espaço livre.



**Figura 2** . Geometria de uma FSS. (a) Onda plana incidente. (b) FSS freestanding.

As componentes da função diádica de Green são obtidas como

$$\begin{bmatrix} \tilde{Z}_{xx} & \tilde{Z}_{xy} \\ \tilde{Z}_{yx} & \tilde{Z}_{yy} \end{bmatrix} = \frac{1}{\alpha^2 + \beta^2} \begin{bmatrix} \beta^2 \tilde{Z}^{TM} + \alpha^2 \tilde{Z}^{TE} & \alpha\beta [\tilde{Z}^{TE} - \tilde{Z}^{TM}] \\ \alpha\beta [\tilde{Z}^{TE} - \tilde{Z}^{TM}] & \beta^2 \tilde{Z}^{TE} + \alpha^2 \tilde{Z}^{TM} \end{bmatrix} \quad (6)$$

onde

$$\tilde{Z}^{TM, TE} = \frac{1}{Y_+^{e,h} + Y_-^{e,h}}$$

$$Y_{0i}^{TE} = \frac{\gamma_{hi}}{j\omega\mu_0} \quad ; \quad Y_{0i}^{TM} = \frac{j\omega\epsilon_0\epsilon_{xxi}}{\gamma_{ei}}$$

$$\gamma_{ei} = \sqrt{\frac{\epsilon_{xxi}}{\epsilon_{zzi}} (\alpha_{mn}^2 + \beta_{mn}^2 - \omega^2\mu_0\epsilon_0\epsilon_{zzi})}$$

$$\gamma_{hi} = \sqrt{\alpha_{mn}^2 + \beta_{mn}^2 - \omega^2\mu_0\epsilon_0\epsilon_{xxi}}$$

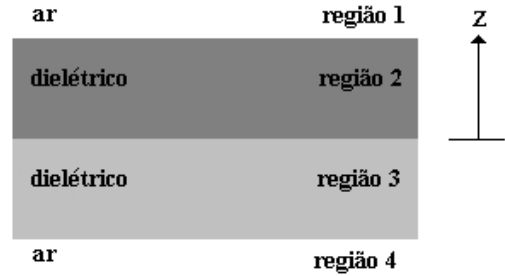
$$Y_+^e = \frac{j\omega\epsilon_0[\gamma_0\epsilon_{xx2}^2 + \epsilon_{xx2}\gamma_{e2}\coth(\gamma_{e2}h_2)]}{\gamma_{e2}^2 + \epsilon_{xx2}\gamma_0\gamma_{e2}\coth(\gamma_{e2}h_2)}$$

$$Y_-^e = \frac{j\omega\epsilon_0[\gamma_0\epsilon_{xx3}^2 + \epsilon_{xx3}\gamma_{e3}\coth(\gamma_{e3}h_3)]}{\gamma_{e3}^2 + \epsilon_{xx3}\gamma_0\gamma_{e3}\coth(\gamma_{e3}h_3)}$$

$$Y_+^h = \frac{\gamma_{h2}^2 + \gamma_0\gamma_{h2}\coth(\gamma_{h2}h_2)}{\gamma_0 + \gamma_{h2}\coth(\gamma_{h2}h_2)}$$

$$Y_-^h = \frac{\gamma_{h3}^2 + \gamma_0\gamma_{h3}\coth(\gamma_{h3}h_3)}{\gamma_0 + \gamma_{h3}\coth(\gamma_{h3}h_3)}$$

As componentes transversais dos campos incidentes nas superfícies condutoras são obtidas dos potenciais incidentes em cada uma das regiões dielétricas, mostradas na Figura 3.



**Figura 3**. Regiões nas quais os campos incidentes são determinados.

Impondo-se as condições de continuidade apropriadas para cada interface dielétrica, mostrada na Figura 3, obtém-se as seguintes expressões para os campos incidentes nas superfícies condutoras para os modos TE e TM, respectivamente.

$$\begin{bmatrix} E_x^{inc} \\ E_y^{inc} \end{bmatrix} = j(F_1 + F_2) e^{j\alpha_0 x} e^{j\beta_0 y} \begin{bmatrix} -\beta_0 \\ \alpha_0 \end{bmatrix} \quad (\text{modos TE}) \quad (7)$$

$$\begin{bmatrix} E_x^{inc} \\ E_y^{inc} \end{bmatrix} = j \frac{\bar{\gamma}_i}{\omega\epsilon_0} (F_1 - F_2) e^{j\alpha_0 x} e^{j\beta_0 y} \begin{bmatrix} \alpha_0 \\ \beta_0 \end{bmatrix} \quad (\text{modos TM}) \quad (8)$$

onde,

$$F_1 = \frac{\gamma_0 [e^{\gamma_0 h_1} / \sinh(\gamma_1 h_1)] [\bar{\gamma}_2^2 + \gamma_0 \bar{\gamma}_1 + (\gamma_0 + \bar{\gamma}_1) \bar{\gamma}_2 \coth(\gamma_2 h_2)]}{D}$$

$$F_2 = \frac{-\gamma_0 [e^{\gamma_0 h_1} / \sinh(\gamma_1 h_1)] [\bar{\gamma}_2^2 - \gamma_0 \bar{\gamma}_1 + (\gamma_0 - \bar{\gamma}_1) \bar{\gamma}_2 \coth(\gamma_2 h_2)]}{D}$$

$$D = (\gamma_0^2 + \bar{\gamma}_1^2) \bar{\gamma}_2 \coth(\gamma_2 h_2) + (\gamma_0^2 + \bar{\gamma}_2^2) \bar{\gamma}_1 \coth(\gamma_1 h_1) + (\bar{\gamma}_1^2 + \bar{\gamma}_2^2) \gamma_0 + 2\gamma_0 \bar{\gamma}_1 \bar{\gamma}_2 \coth(\gamma_1 h_1) \coth(\gamma_2 h_2)$$

$$\gamma_i = \begin{cases} \gamma_{hi} \rightarrow \text{Modos TE} \\ \gamma_{ei} \rightarrow \text{Modos TM} \end{cases}$$

$$\bar{\gamma}_i = \begin{cases} \gamma_{hi} \rightarrow \text{Modos TE} \\ \frac{\gamma_{ei}}{\epsilon_{xxi}} \rightarrow \text{Modos TM} \end{cases}$$

A substituição das expressões dos campos incidentes e das componentes da função diádica de Green na equação (3), expressa em termos da densidade de corrente induzida, permite resolver o problema do arranjo periódico colocado em um meio dielétrico heterogêneo (Figura 1).

Os coeficientes de reflexão e transmissão são expressos como [2], [5]

$$R_{mn}^{\text{TE}} = \frac{j(\beta_{mn} (\tilde{E}_{xt}^s(\alpha_{mn}, \beta_{mn}) + \tilde{E}_x^r \delta_{mn}) - \alpha_{mn} (\tilde{E}_{yt}^s(\alpha_{mn}, \beta_{mn}) + \tilde{E}_y^r \delta_{mn}))}{\alpha_{mn}^2 + \beta_{mn}^2} \quad (9)$$

$$R_{mn}^{\text{TM}} = \frac{-(\alpha_{mn} (\tilde{E}_{xt}^s(\alpha_{mn}, \beta_{mn}) + \tilde{E}_x^r \delta_{mn}) + \beta_{mn} (\tilde{E}_{yt}^s(\alpha_{mn}, \beta_{mn}) + \tilde{E}_y^r \delta_{mn}))}{(\alpha_{mn}^2 + \beta_{mn}^2) \gamma_{mn} / \omega \epsilon_0} \quad (10)$$

$$T_{mn}^{\text{TE}} = \frac{j(\beta_{mn} (\tilde{E}_{xb}^s(\alpha_{mn}, \beta_{mn}) + \tilde{E}_x^t \delta_{mn}) - \alpha_{mn} (\tilde{E}_{yb}^s(\alpha_{mn}, \beta_{mn}) + \tilde{E}_y^t \delta_{mn}))}{\alpha_{mn}^2 + \beta_{mn}^2} \quad (11)$$

$$T_{mn}^{\text{TM}} = \frac{-(\alpha_{mn} (\tilde{E}_{xb}^s(\alpha_{mn}, \beta_{mn}) + \tilde{E}_x^t \delta_{mn}) + \beta_{mn} (\tilde{E}_{yb}^s(\alpha_{mn}, \beta_{mn}) + \tilde{E}_y^t \delta_{mn}))}{(\alpha_{mn}^2 + \beta_{mn}^2) \gamma_{mn} / \omega \epsilon_0} \quad (12)$$

onde

$$\gamma_{mn} = \sqrt{\alpha_{mn}^2 + \beta_{mn}^2 - k_0^2} \quad e \quad \delta_{mn} = \begin{cases} 1 & \text{se } m = n = 0 \\ 0 & \text{se } m \neq n \end{cases}$$

Os campos espalhados no topo (t) e na base (b) da estrutura, mostrada na Figura 1, devido aos campos incidentes, são dados por

$$\begin{bmatrix} \tilde{E}_{xt,b}^s \\ \tilde{E}_{yt,b}^s \end{bmatrix} = \begin{bmatrix} \tilde{Z}_{xxt,b} & \tilde{Z}_{xyt,b} \\ \tilde{Z}_{yxt,b} & \tilde{Z}_{yyt,b} \end{bmatrix} \cdot \begin{bmatrix} \tilde{J}_x \\ \tilde{J}_y \end{bmatrix} \quad (13)$$

Os campos refletidos e transmitidos, são obtidos como

Modos TE:

$$\begin{bmatrix} \tilde{E}_x^r \\ \tilde{E}_y^r \end{bmatrix} = \frac{j}{2} \begin{bmatrix} 1 - \frac{\gamma_{h1}}{\gamma_0} \\ \frac{\gamma_{h1}}{\gamma_0} \end{bmatrix} e^{\gamma_{h1} h_1} F_1 + \begin{bmatrix} 1 + \frac{\gamma_{h1}}{\gamma_0} \\ \frac{\gamma_{h1}}{\gamma_0} \end{bmatrix} e^{-\gamma_{h1} h_1} F_2 \begin{bmatrix} -\beta_0 \\ \alpha_0 \end{bmatrix} \quad (14)$$

$$\begin{bmatrix} \tilde{E}_x^t \\ \tilde{E}_y^t \end{bmatrix} = \frac{j}{2} \begin{bmatrix} 1 + \frac{\gamma_{h1}}{\gamma_{h2}} \\ \frac{\gamma_{h1}}{\gamma_{h2}} \end{bmatrix} (F_1 e^{-\gamma_{h2} h_2} + F_2 e^{\gamma_{h2} h_2}) + \begin{bmatrix} 1 - \frac{\gamma_{h1}}{\gamma_{h2}} \\ \frac{\gamma_{h1}}{\gamma_{h2}} \end{bmatrix} (F_2 e^{-\gamma_{h2} h_2} + F_1 e^{\gamma_{h2} h_2}) \begin{bmatrix} -\beta_0 \\ \alpha_0 \end{bmatrix} \quad (15)$$

Modos TM:

$$\begin{bmatrix} \tilde{E}_x^r \\ \tilde{E}_y^r \end{bmatrix} = -\frac{\gamma_0}{2\omega\epsilon_0} \begin{bmatrix} 1 - \frac{\bar{\gamma}_{e1}}{\gamma_0} \\ \frac{\bar{\gamma}_{e1}}{\gamma_0} \end{bmatrix} e^{\gamma_{e1} h_1} F_1 + \begin{bmatrix} 1 + \frac{\bar{\gamma}_{e1}}{\gamma_0} \\ \frac{\bar{\gamma}_{e1}}{\gamma_0} \end{bmatrix} e^{-\gamma_{e1} h_1} F_2 \begin{bmatrix} \alpha_0 \\ \beta_0 \end{bmatrix} \quad (16)$$

$$\begin{bmatrix} \tilde{E}_x^t \\ \tilde{E}_y^t \end{bmatrix} = -\frac{\gamma_0}{2\omega\epsilon_0} \begin{bmatrix} 1 + \frac{\bar{\gamma}_{e1}}{\bar{\gamma}_{e2}} \\ \frac{\bar{\gamma}_{e1}}{\bar{\gamma}_{e2}} \end{bmatrix} (F_1 e^{-\gamma_{e2} h_2} + F_2 e^{\gamma_{e2} h_2}) + \begin{bmatrix} 1 - \frac{\bar{\gamma}_{e1}}{\bar{\gamma}_{e2}} \\ \frac{\bar{\gamma}_{e1}}{\bar{\gamma}_{e2}} \end{bmatrix} (F_2 e^{-\gamma_{e2} h_2} + F_1 e^{\gamma_{e2} h_2}) \begin{bmatrix} \alpha_0 \\ \beta_0 \end{bmatrix} \quad (17)$$

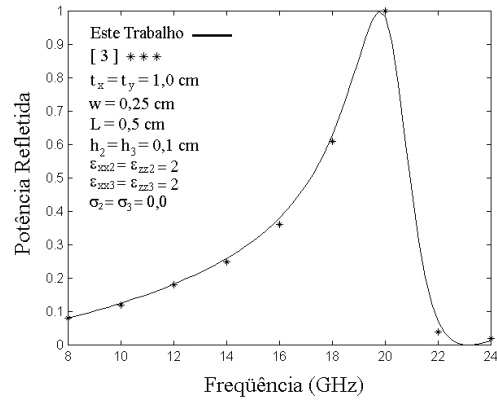
Substituindo-se (14) a (17) em (9) a (12), as expressões para os coeficientes de reflexão e transmissão, para a estrutura da Figura 1, são então determinados.

### 3. RESULTADOS NUMÉRICOS

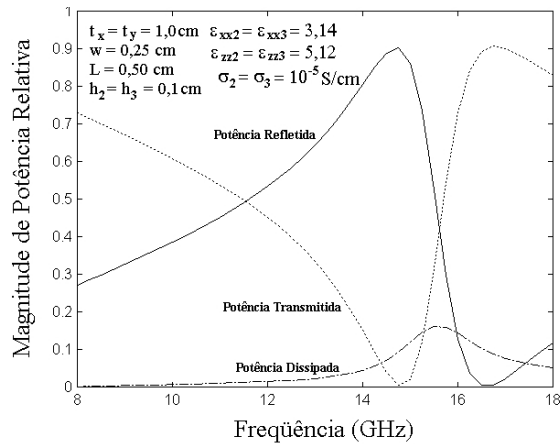
Para efeito de comparação de resultados foi considerada a estrutura mostrada na Figura 1. Os resultados obtidos para a estrutura sem perdas ( $\sigma_1 = \sigma_2 = 0$ ) foram comparados com aqueles obtidos em [3]. Como se pode observar, os resultados desta análise mostram uma ótima concordância com os apresentados em [3].

A Figura 5 mostra os resultados obtidos para a potência refletida, transmitida e dissipada, para a estrutura da Figura 1. Na obtenção de resultados, as camadas foram consideradas como constituídas de materiais anisotrópicos uniaxiais, como o pyrolytic boron nitride (PBN). A condutividade, nas duas camadas dielétricas anisotrópicas (Figura 1), foi considerada igual a  $10^{-5}$  S/cm.

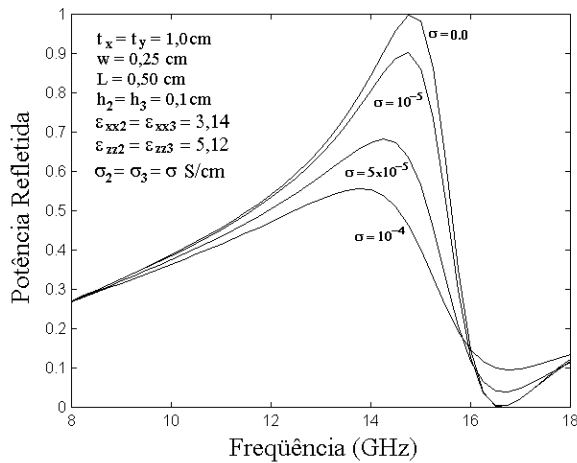
O efeito da condutividade é mostrado na Figura 6. Foram obtidas diversas curvas para a potência refletida, versus frequências, para diversos valores da condutividade elétrica,  $\sigma$ .



**Figura 4.** Comparação entre os resultados deste trabalho e os de [3].



**Figura 5.** Curvas das potências refletida, transmitida e dissipada, versus frequência.



**Figura 6.** Curvas da potência refletida para diversos valores da condutividade elétrica,  $\sigma$ .

## 4. CONCLUSÕES

As características de transmissão e de reflexão, de uma estrutura periódica de *patches* condutores, colocada entre camadas dielétricas anisotrópicas com perdas, foram analisadas no domínio espectral. Os resultados numéricos foram obtidos em função das dimensões físicas e das características dos materiais dielétricos usados na estrutura. A inclusão da ocorrência de perdas dielétricas na análise, é importante, pois permite obter resultados mais precisos, indispensáveis em aplicações práticas em altas frequências.

## 5. REFERÊNCIAS

- [1] R. Mittra, C. H. Chan e T. Cwik, "Techniques for analyzing frequency selective surfaces – a review", *IEEE Proceedings*, Vol. 76, (1988), 1593-1616.
- [2] T. K. Wu, *Frequency selective surfaces and grid array*, John Wiley and Sons, 1995.
- [3] T. F. Eibert, J. L. Volakis, D. R. Wilton e D. R. Jackson, "Hybrid FE/BI modeling of 3-D doubly periodic structures utilizing triangular prismatic elements and an MPIE

formulation accelerated by the Ewald transformation", *IEEE Trans. on Antennas and Propagation*, Vol. AP-47, (1999), 843-849.

- [4] A. L. P. S. Campos, A. G. d'Assunção e L. M. de Mendonça, "Analysis of frequency selective surfaces on anisotropic substrates"; *Proc. 1999 SBMO/IEEE MTT-S Int. Microwave and Optoelectronics Conf.*, Rio de Janeiro, RJ, Brasil, (1999), 173-176.
- [5] A. L. P. S. Campos, "Superfícies seletivas de frequência sobre substratos dielétricos anisotrópicos uniaxiais", Dissertação de Mestrado, (1999), Universidade Federal do Rio Grande do Norte, Natal, RN, Brasil.
- [6] T. Itoh, "Spectral domain immittance approach for dispersion characteristics of generalized printed transmission lines", *IEEE Trans. Microwave Theory Tech.*, MTT-28, (1980), 733-736.
- [7] J.R.S. Oliveira, A.G. d'Assunção e F.J.V. Sousa, "Microstrip patch antennas on uniaxial anisotropic substrates with several optical axis orientations", *Proc. 1997 SBMO/IEEE MTT-S Int. Microwave and Optoelectronics Conf.*, Natal, RN, Brasil, Vol. 1, (1997), 297-302.